

ДОНБАССКАЯ ГОСУДАРСТВЕННАЯ МАШИНОСТРОИТЕЛЬНАЯ АКАДЕМИЯ

РАЗРАБОТКА ГИДРОСТАТИЧЕСКИХ ОПОРНЫХ УЗЛОВ ДЛЯ СУППОРТОВ ТОКАРНЫХ СТАНКОВ

Магистр: Любович И.В. гр. МС-09-1м

Руководитель: профессор, д.т.н. Ковалёв В.Д.



Цель работы: Повышение точности и работоспособности тяжелого станка путем применения гидростатических направляющих...

Объект исследования: исследования: гидростатические направляющие тяжелого станка повышенной грузоподъемности.

Предмет исследования: закономерности работы гидростатических опор тяжёлого токарного станка для обеспечения повышенной точности.



•Задачи исследования:

- •1. Проанализировать существующие конструкции тяжолых токарных станков с гидростатическими направляющими.
- 2. Разработать систему проектирования тяжёлых токарных станка на концептуальном уровна принципом.
- •3. Создать конструкцию суппорта токарного станка повышенной точности с гидростатическими направляющими продольных и поперечных перемещений.



- 4. Исследовать поведение суппорта при разных вариантах награждения и разных температурных условиях
- 5. Разработать мехатронную систему адаптивного управления гидростатическими опорами суппорта.



Научная новизна:

- 1Усовершенствованы методы моделирования гидростатических опор с учётом силовых и тепловых деформаций.
- Разработана система управления точностью перемещений суппорта тяжёлого токарного станка.
- •Создана мехатронная адаптивная система управления гидростатическими направляющими суппорта на основе системы датчиков и микропроцессорной обработки данных для обратной связи по средствам регулируемых клапанов.



Практическая ценность:

- •Разработана конструкция гидростатических направляющих тяжелого станка повышенной грузоподъемности, обеспечивающая его работоспособность при действии сил резания до 200 кН.
- •Разработано программный код для управления мехатронной системой на основе микроконтроллера ATMega64



ОСОБЕННОСТИ КОНСТРУКЦИИ СОВРЕМЕННЫХ ТЯЖЕЛЫХ ТОКАРНЫХ СТАНКОВ





Тяжелый токарный станок 1К675Ф3

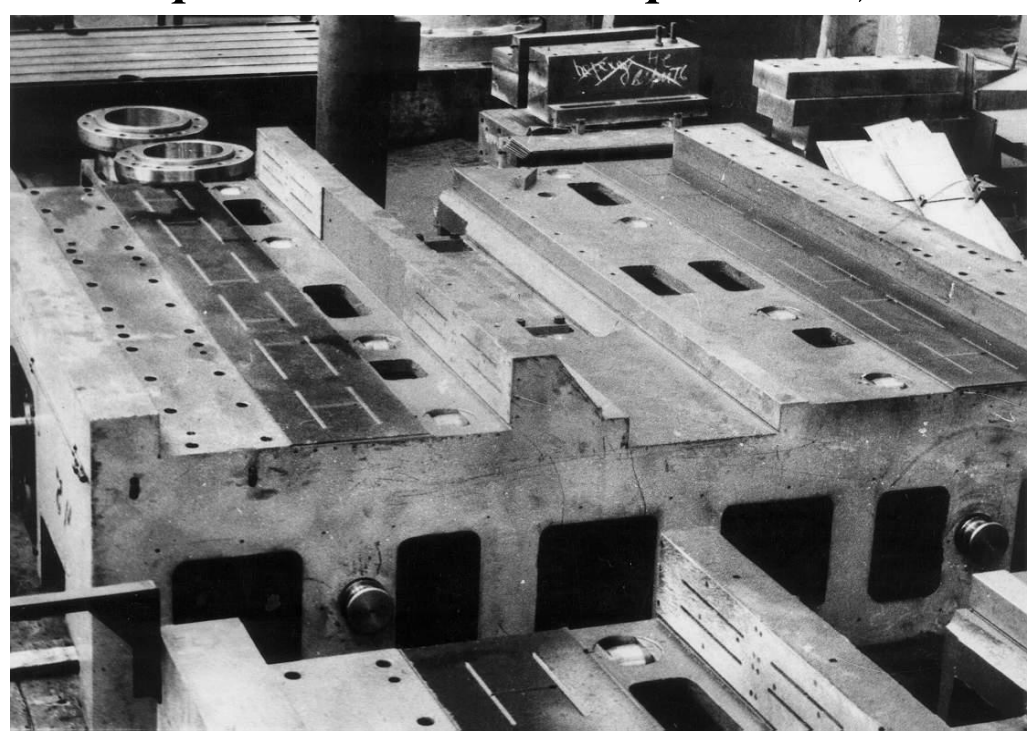




Тяжелый токарный станок модели ŠKODA SR 3



Применение Гидростатических направляющих в станках



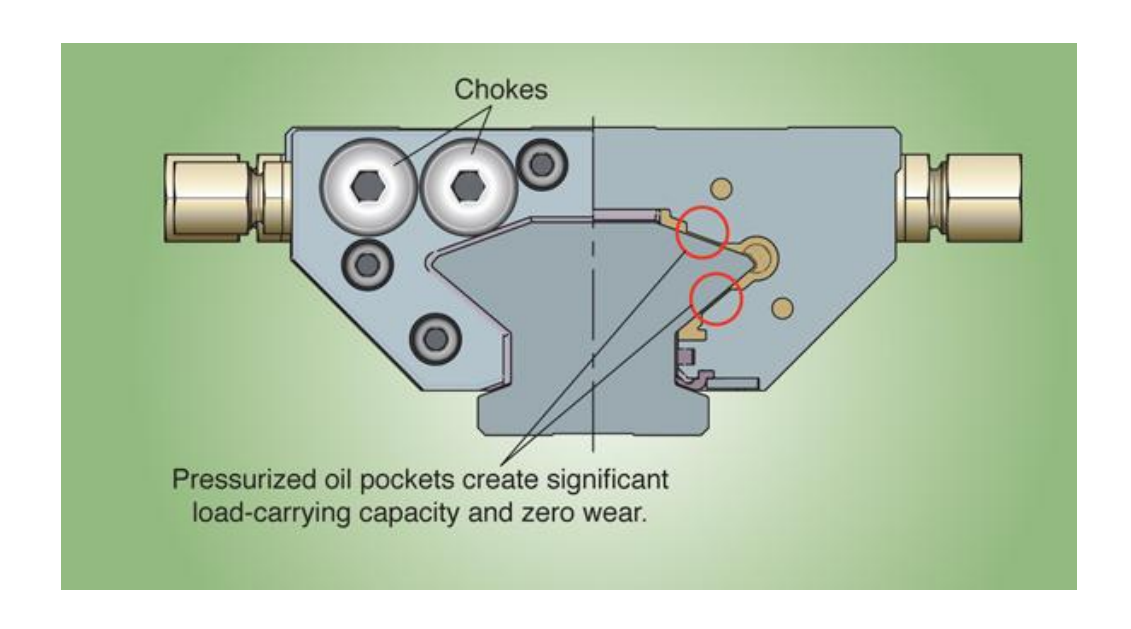
Гидростатические направляющие каретки суппорта станка КЖ 16159 Ф3





Гидростатические линейные напавляющие





Каретка гидростатических направляющих



ТЕОРЕТИЧЕСКИЕ ОСНОВЫ И МЕТОДИКА СОЗДАНИЯ ЭКСПЕРТНОЙ СИСТЕМЫ ПО КОНСТРУИРОВАНИЮ НА КОНЦЕПТУАЛЬНОМ УРОВНЕ

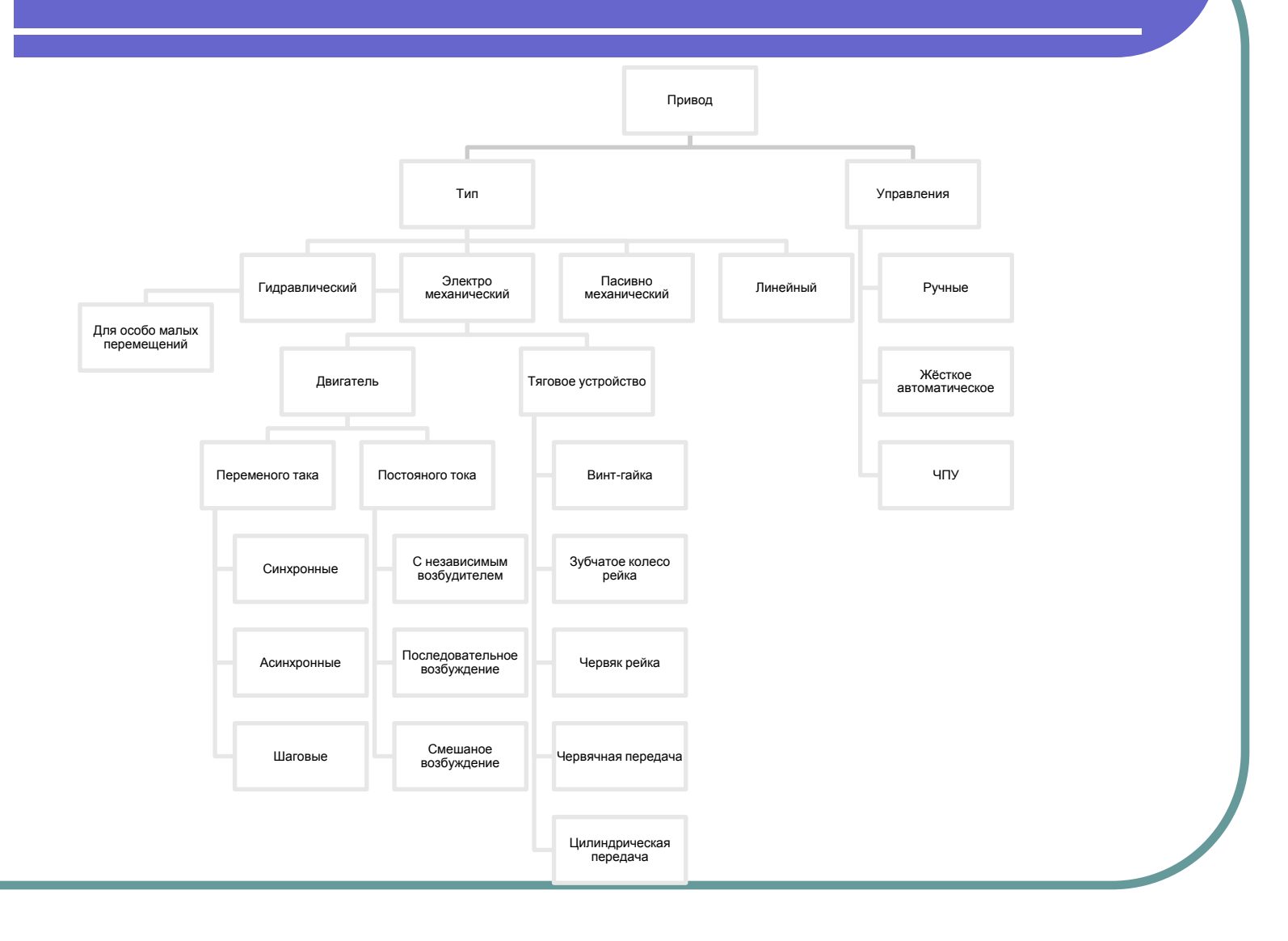
- 1 Выбор и ограничение области проектирования и представление в виде макета иерархической структуры.
- 2 Анализ суппортной группы
- 3 Выбор критериев описывающих цель и задачи (ТЗ)

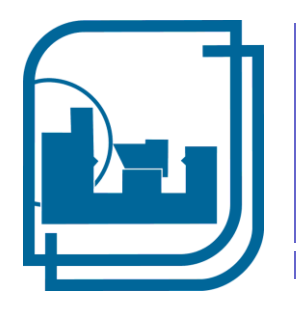


4. Иерархическая структура суппорта









 Выбор и обоснование инструментальных средств для разработки ПО для концептуальному конструированию.





 Объединение сквозного проектирования с пошаговым.



РАСЧЁТ ГИДРОСТАТИЧЕСКИХ НАПРАВЛЯЮШИХ ТЯЖЁЛЫХ СТАНКОВНА РЕАЛИЗАЦИИ УРАВНЕНИЯ РЕЙНОЛЬДСА



Алгоритм расчета плоских направляющих жидкостного трения

При рассмотрении плоских направляющих жидкостного трения с движением поверхности только в направлении оси x (V =0) уравнение примет следующий вид:

$$\frac{\partial}{\partial x} \left(h^3 \frac{\partial p}{\partial x} \right) + \frac{\partial}{\partial z} \left(h^3 \frac{\partial p}{\partial z} \right) = -6\mu U \frac{\partial p}{\partial x} \tag{1}$$

Уравнение (1) с граничными условиями по границам исследуемой области

$$p = 0$$
 на $0 \le x \le A$ при $z = 0$,
 $0 \le x \le A$ при $z = B$,
 $0 \le z \le B$ при $x = 0$,
 $0 \le z \le B$ при $x = A$,



Безразмерный вид исходного дифференциального уравнения

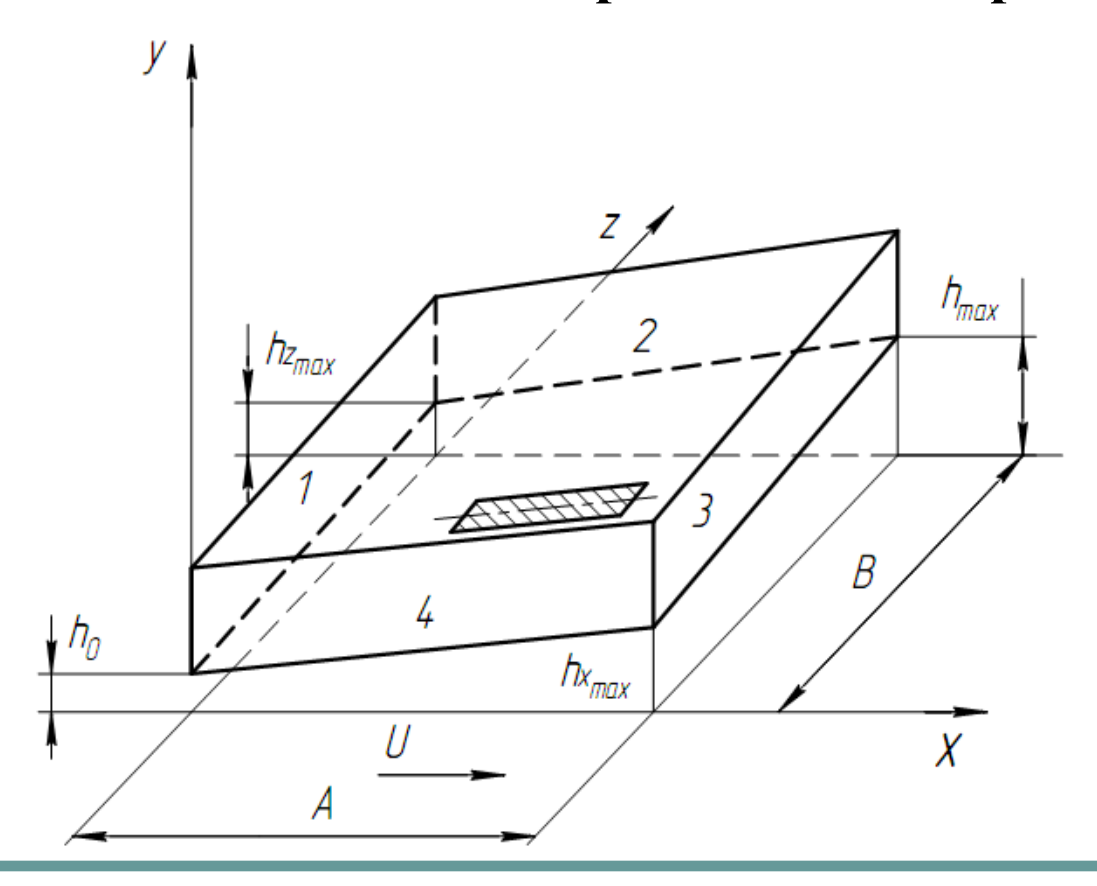
С целью получения общности решения для геометрически подобных областей, уравнение (1) приведено к безразмерному

$$\overline{x} = x / A; \quad 0 \le x \le 1;
\overline{z} = z / A; \quad 0 \le \overline{z} \le \hat{A} / \hat{A} = \ddot{A};
\overline{p} = p / C; \quad C = C_1 + C_2; \quad C_1 = \frac{6UA\mu}{h_0^2}; \quad C_2 = p_c;
\overline{h} = h / h_0 = 1 + \alpha \overline{x} + \beta \overline{z};
\alpha = \frac{h_{\text{max}} x}{h_0} - 1, \quad \beta = \left(\frac{h_{\text{max}} z}{h_0} - 1\right) \ddot{A}^{-1},$$
(3)

где p_c - давление в системе питания; A и B — длина и ширина опоры.



Схема прямоугольной гидростатической опоры с относительным наклоном сопрягаемых поверхностей





Граничные условия

Граничные условия (2) в безразмерном виде, перепишутся так:

$$\overline{p} = 0$$
 μa $\overline{x} = 0$ $0 \le \overline{z} \le \mathcal{J} = B / A;$ $\overline{x} = 1$ $0 \le \overline{z} \le \mathcal{J} = B / A;$ $\overline{z} = 0$ $0 \le \overline{x} \le 1;$ $\overline{z} = \mathcal{J}$ $0 \le \overline{x} \le 1.$ (4)



Зависимости, определяющие основные эксплуатационные параметры опор жидкостного трения

<u>Несущая способность</u>

В общем виде:

$$W = \iint_{F} p dF$$

Переходя к безразмерным величинам согласно (4):

$$W = CA^2 K_W (5)$$

где K_W - безразмерный коэффициент, характеризующий несущую способность опоры,

$$K_W = \int_0^1 \int_0^{\mathcal{I}} \overline{p} d\overline{x} d\overline{z} \tag{6}$$



Мощность, затрачиваемая на преодоление сил вязкого сдвига

Согласно гипотезе Ньютона напряжение вязкого сдвига

$$\tau = \mu \frac{\partial U}{\partial y}$$

$$N_{mp} = UF_{TP} = U \iint_{F} \tau dF$$

$$N_{mp} = \frac{\mu U^{2} A^{2}}{h_{0}} K_{N_{mp}}$$
(7)

где
$$K_{N_{\delta\delta}}$$
:

$$K_{N_{mp}} = \int_{0}^{1} \int_{0}^{\pi} \left(\pm \frac{3\alpha \overline{p}}{\Omega} + \frac{1}{\overline{h}} \right) d\overline{x} d\overline{z}$$



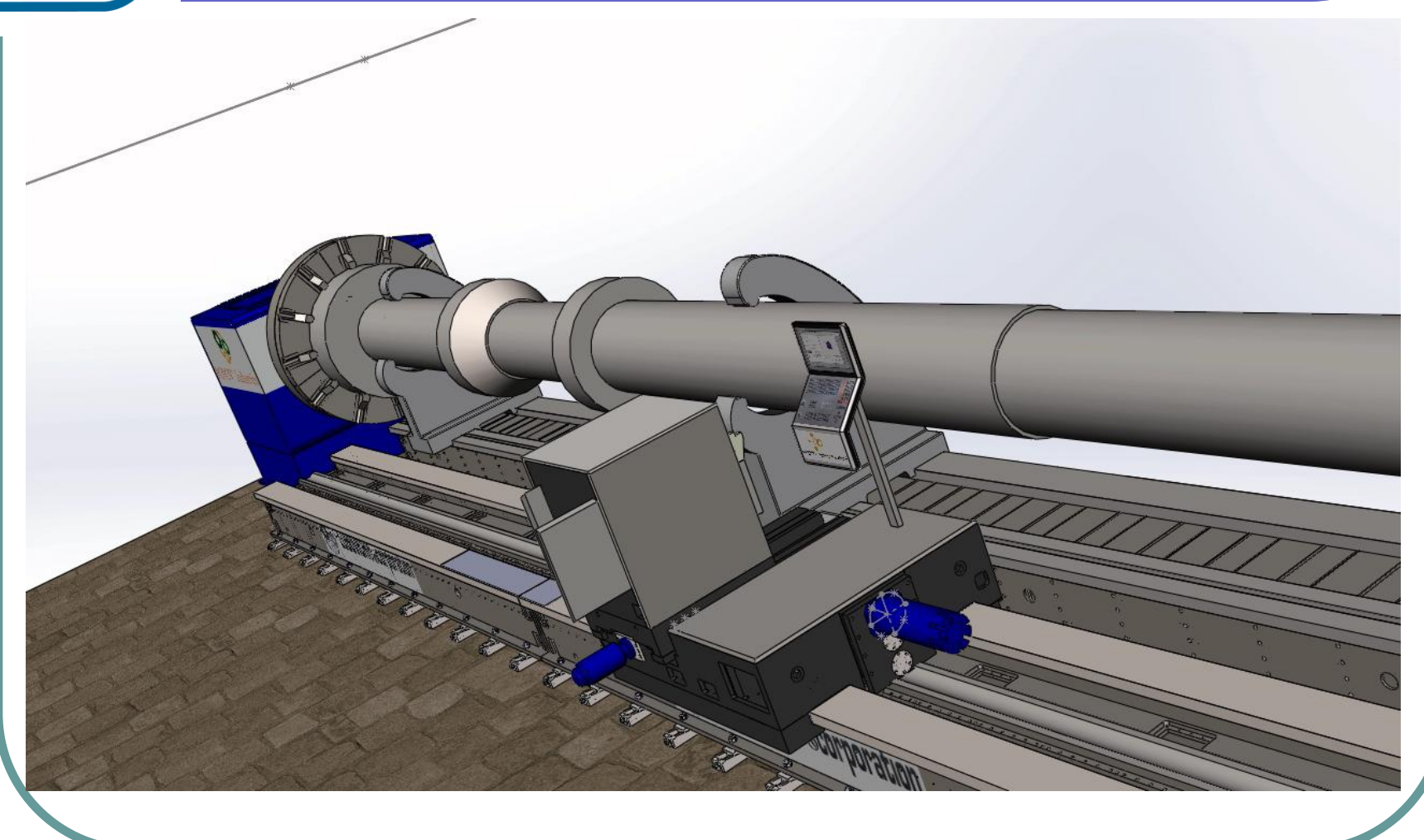
МОДЕЛИРОВАНИЕ ТЯЖЕЛОГО ТОКАРНОГО СТАНКА



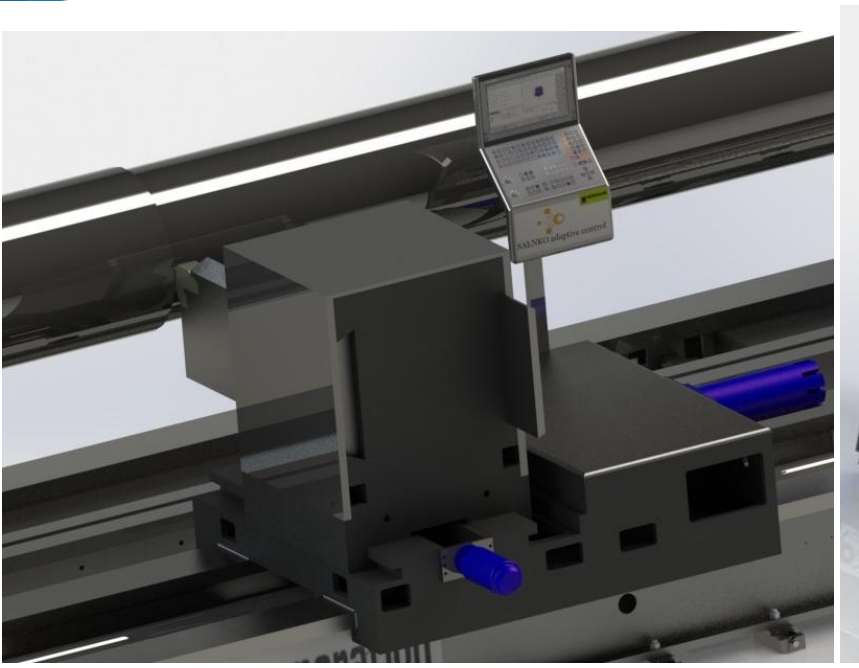


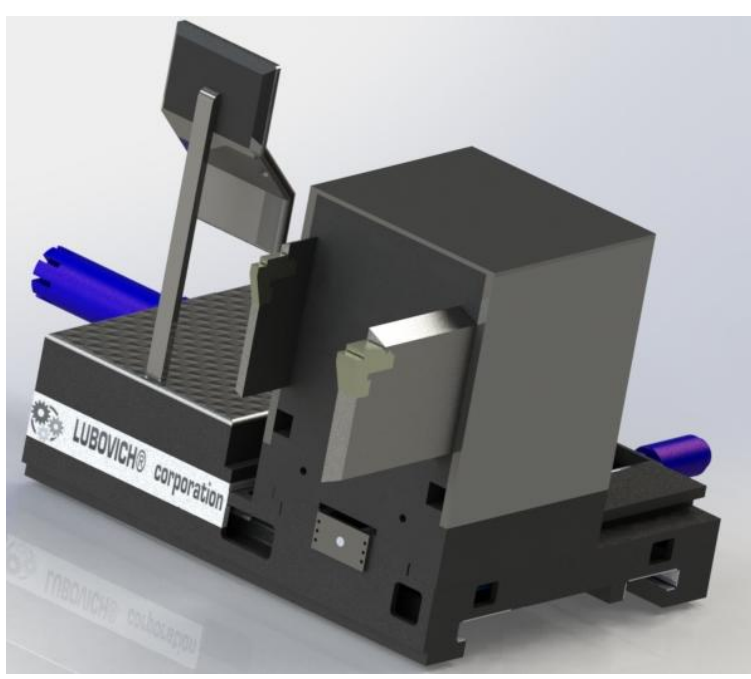
Токарный станок повышенной нагрузочной способностью с ЧПУ.





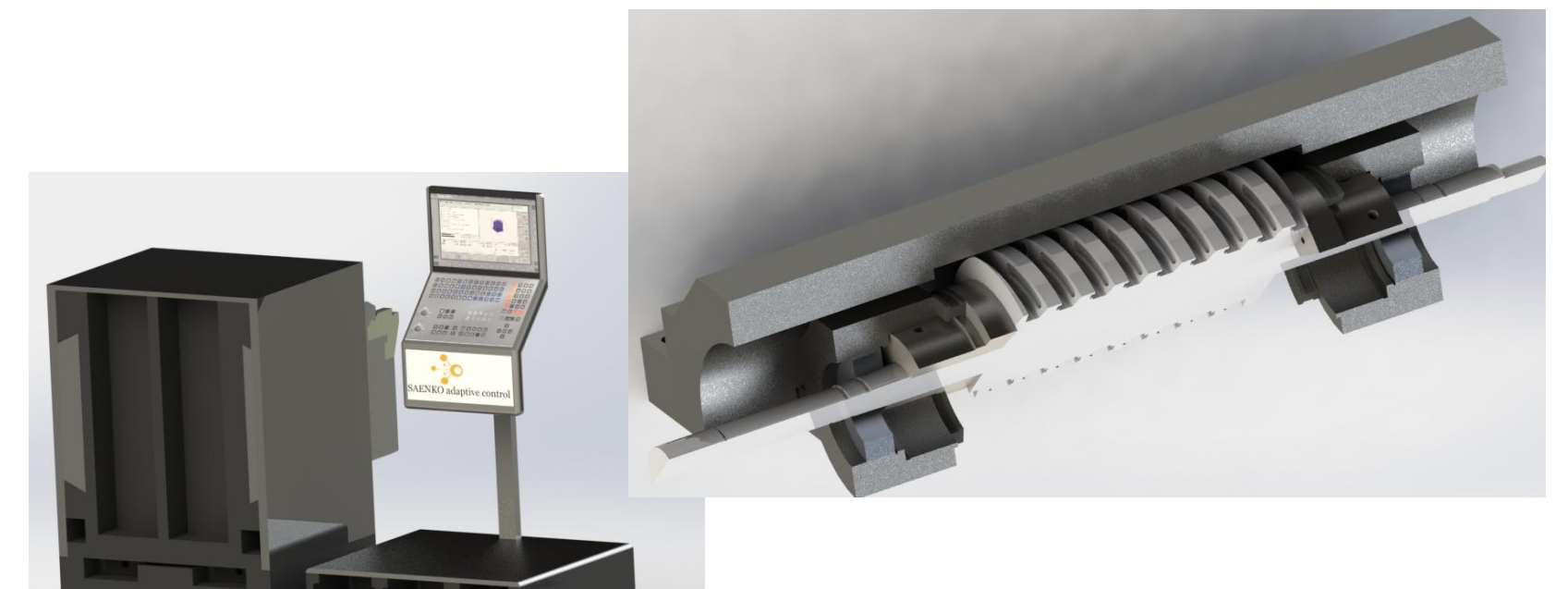






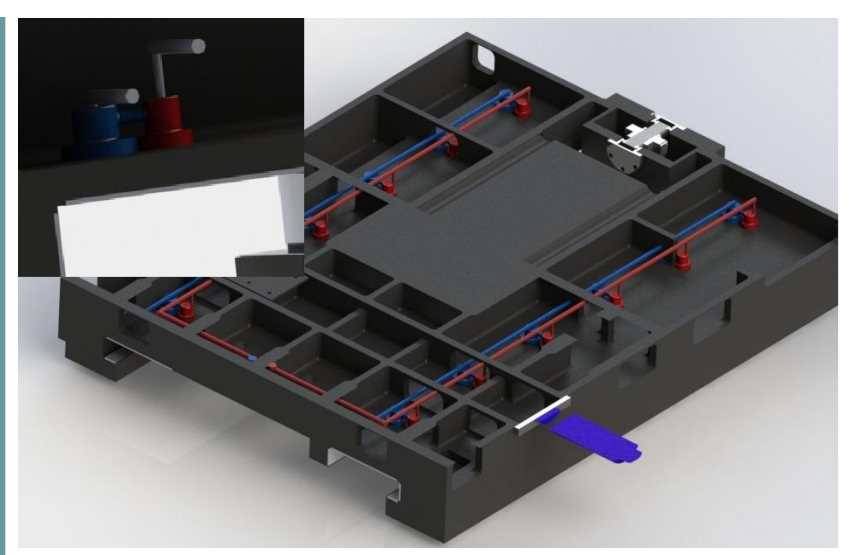
Фотореалистика суппорта с повышенной нагрузочной способностью





Развертка тягового устройства тяжёлого токарного станка





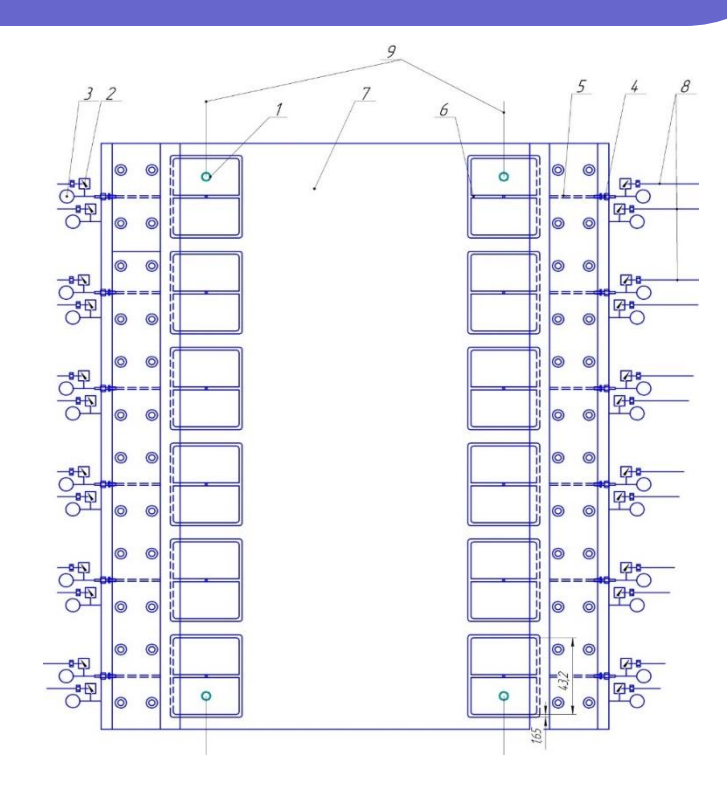
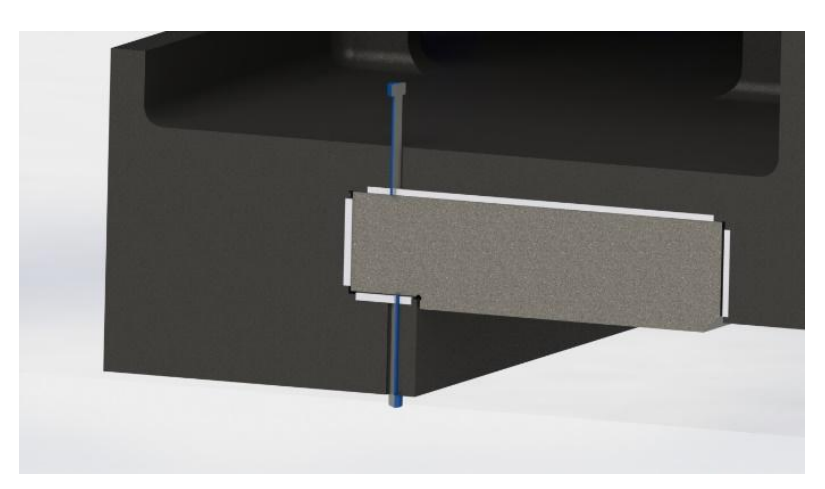


Схема гидравлики узла суппорта тяжелого токарного станка





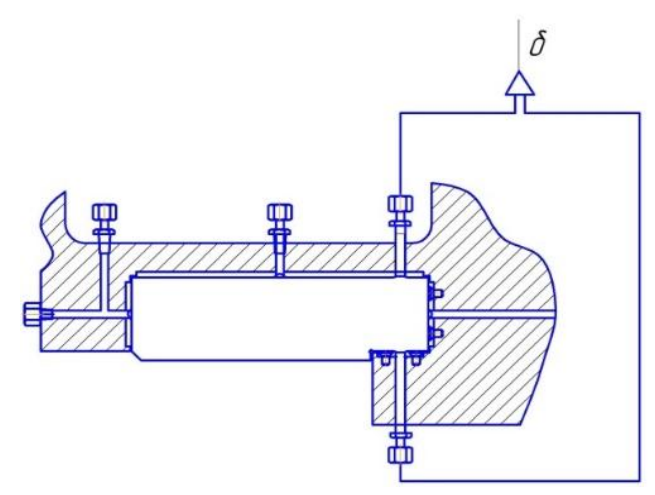
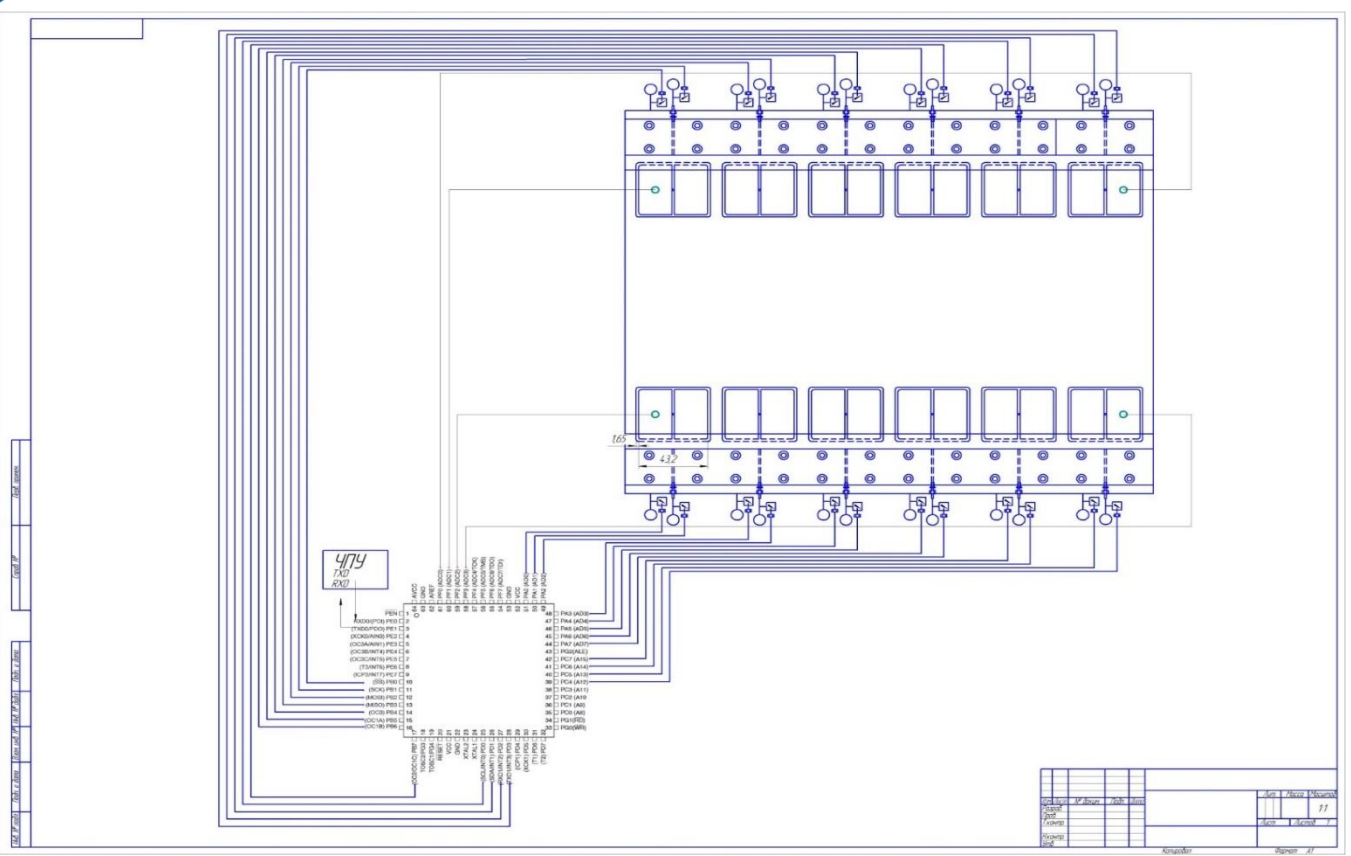


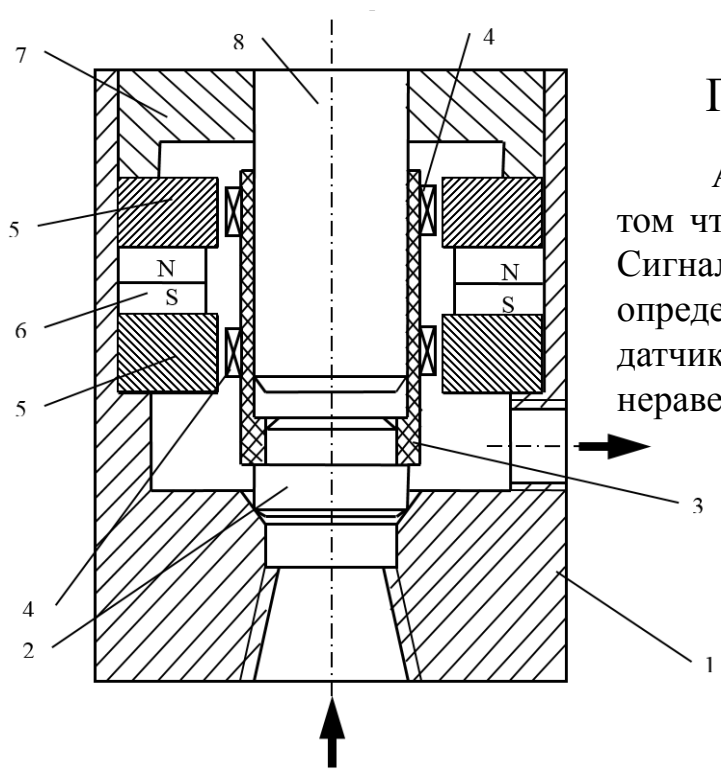
Схема расположения индуктивных датчиковзазора





•схема взаимосвязи микроконтроллера ATMega64 и регулируемого дросселя





Принцип действия системы управления

Алгоритм работы микроконтроллера заключается в том что он получает сигнал с преобразователя датчика. Сигнал несет в себе число со знаком, это число определяет величину разности показаний одной пары датчиков. Затем эта разность обрабатывается исходя из неравенств:

$$\Delta p = k_n \delta + k_u \int \delta dt;$$

$$\Delta p = k_n \delta + k_u \int \delta dt + k \partial \frac{d\delta}{dt};$$

Управляемый предохранительный клапан.



Исследования и испытания узлов станка в среде solidworks simulation

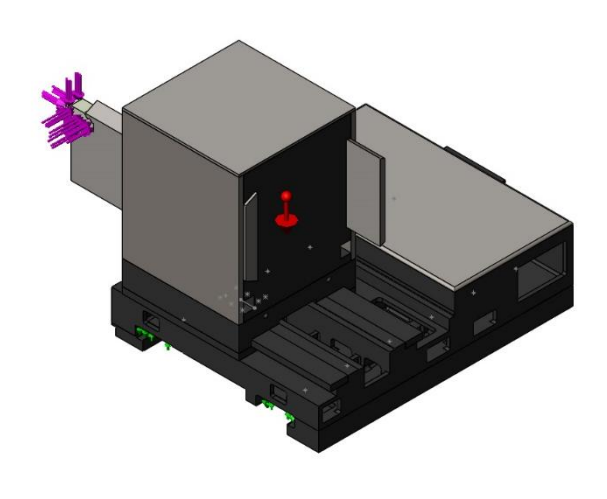
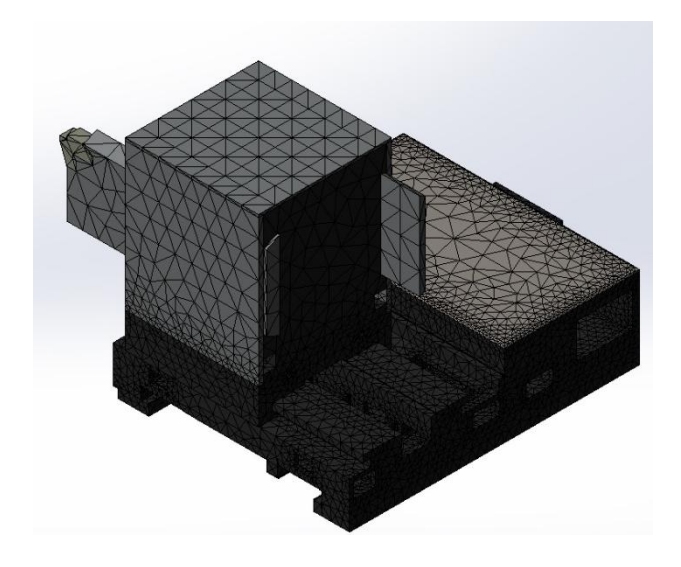


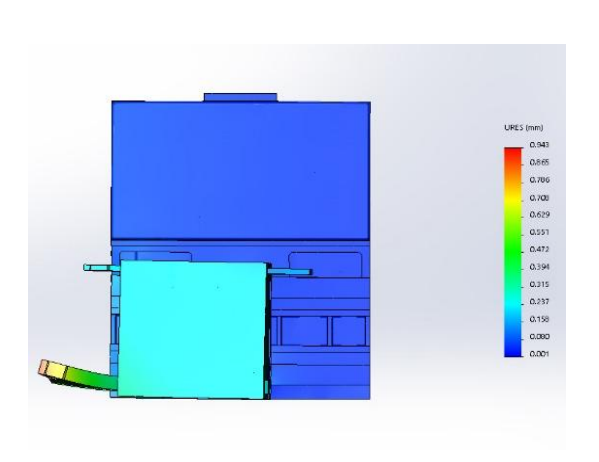
Схема нагружения

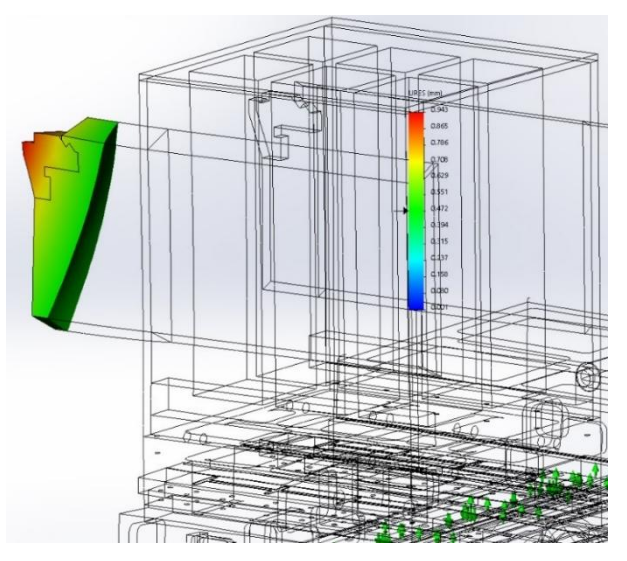


Разбиение на сетка для конечных элементов



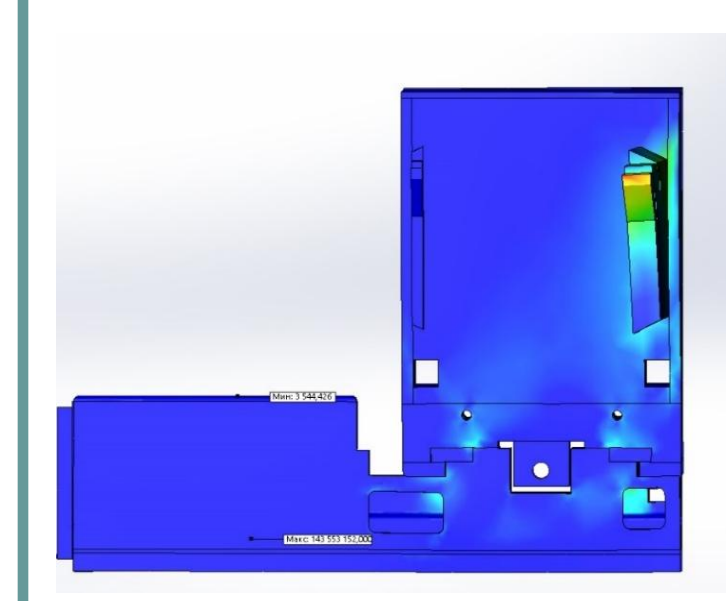
Результаты исследования



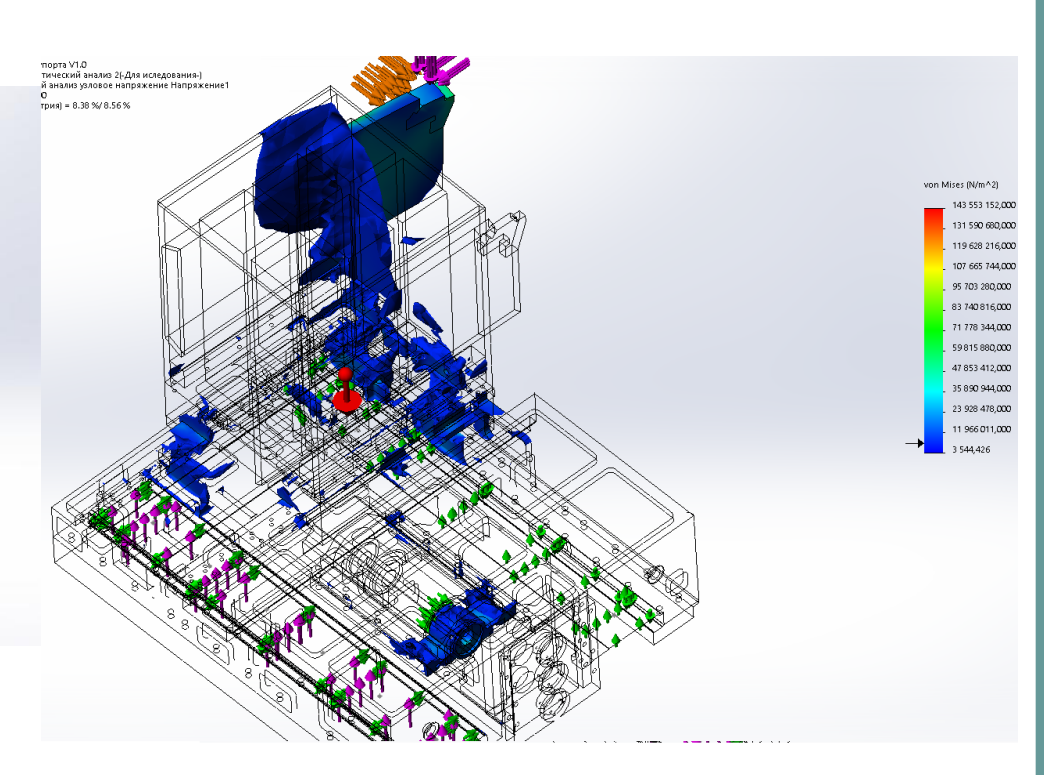


•Эпюра упругих отклонений державки резца увеличенное в 200 раз





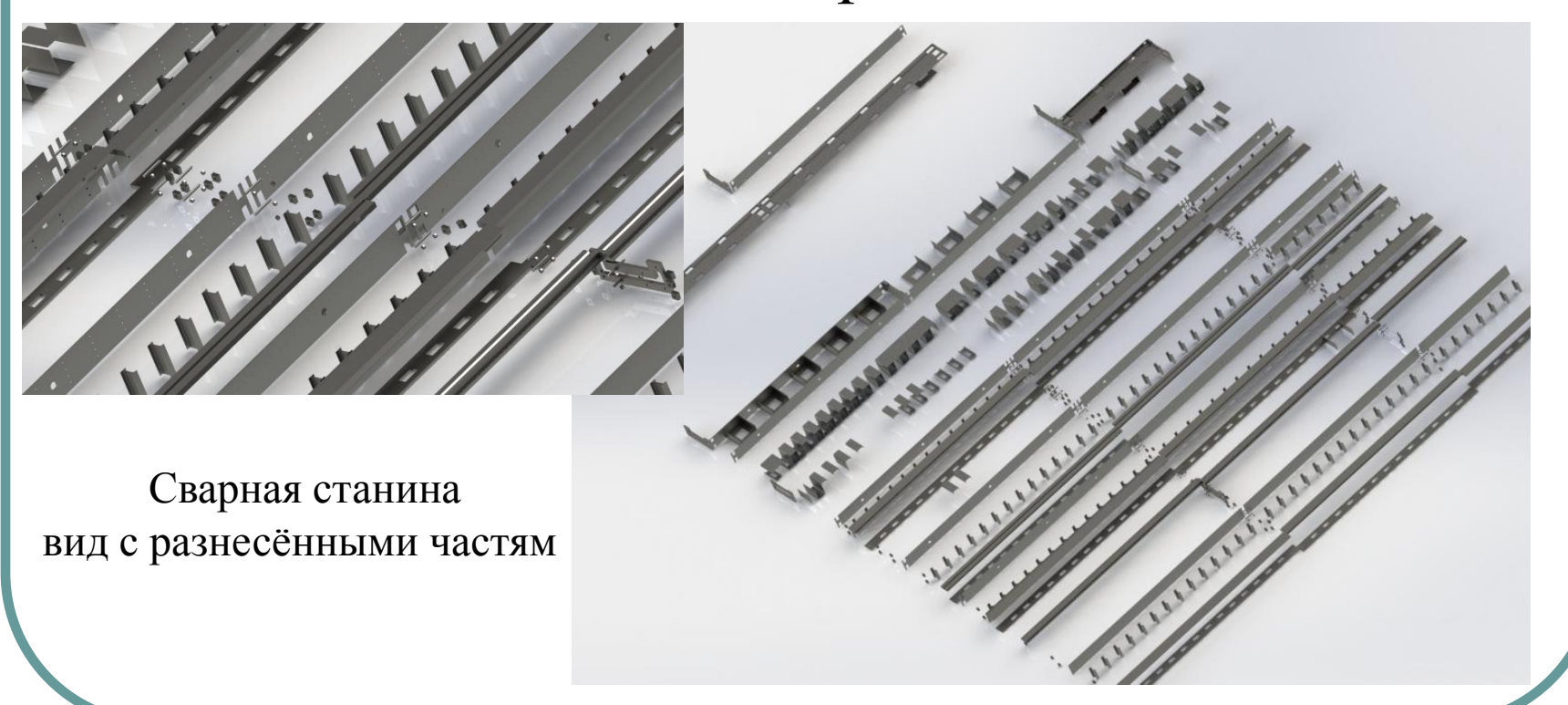
Внутреннее напряжение металлоконструкции суппорта



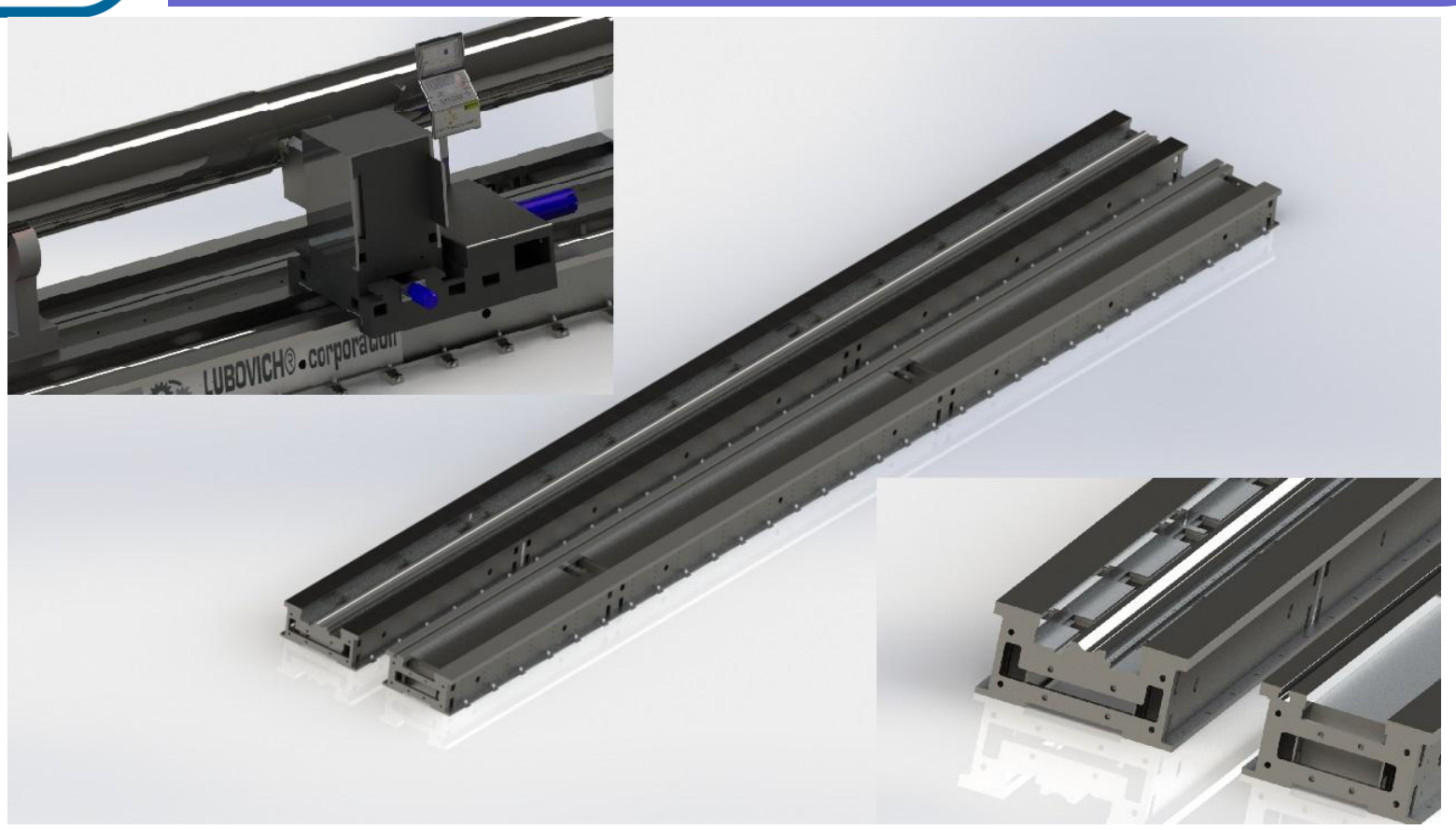
Наиболее нагруженные участки суппорта



Статическое исследование сварной станины тяжёлого токарного станка.

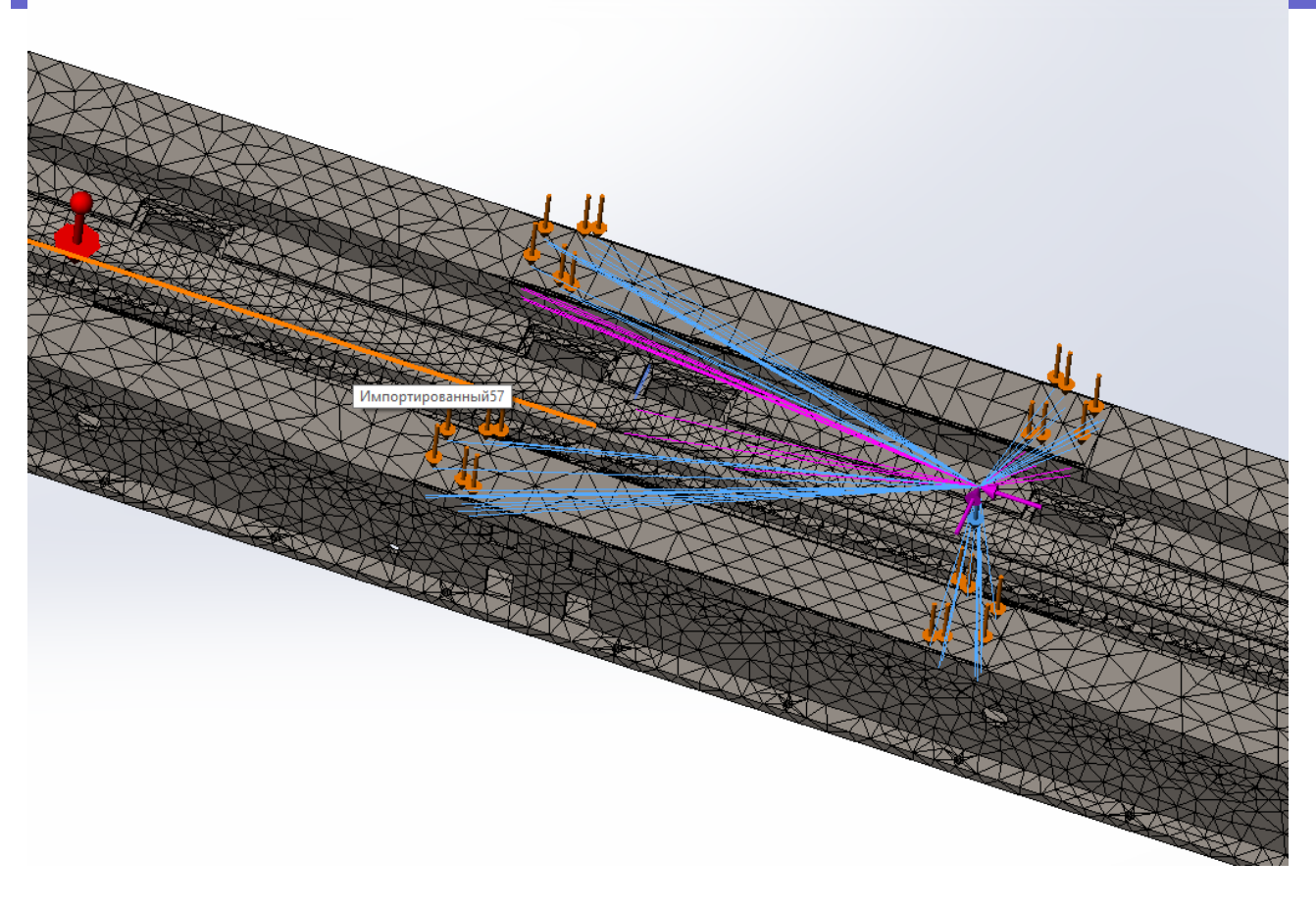






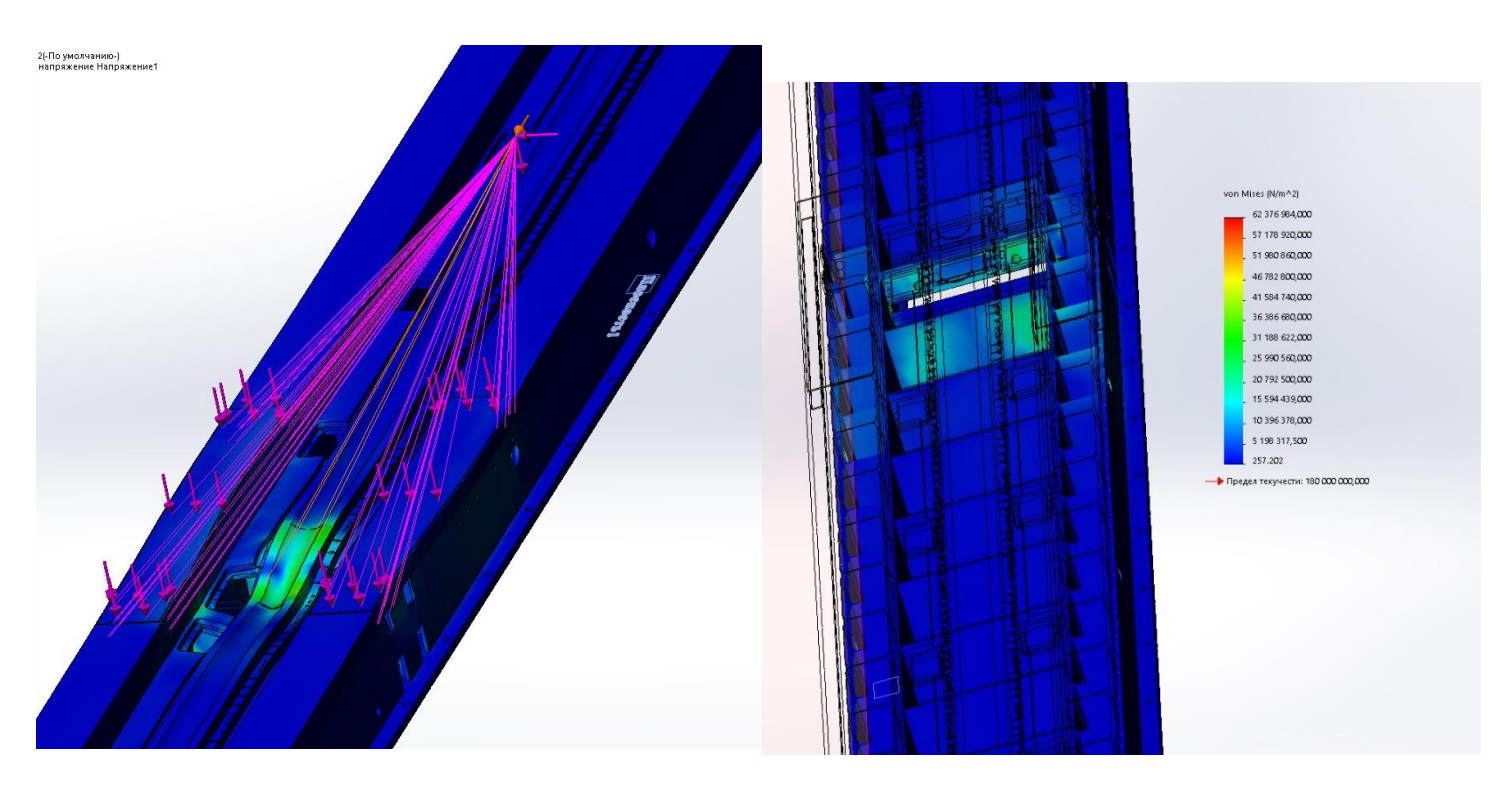
Станина в сборе





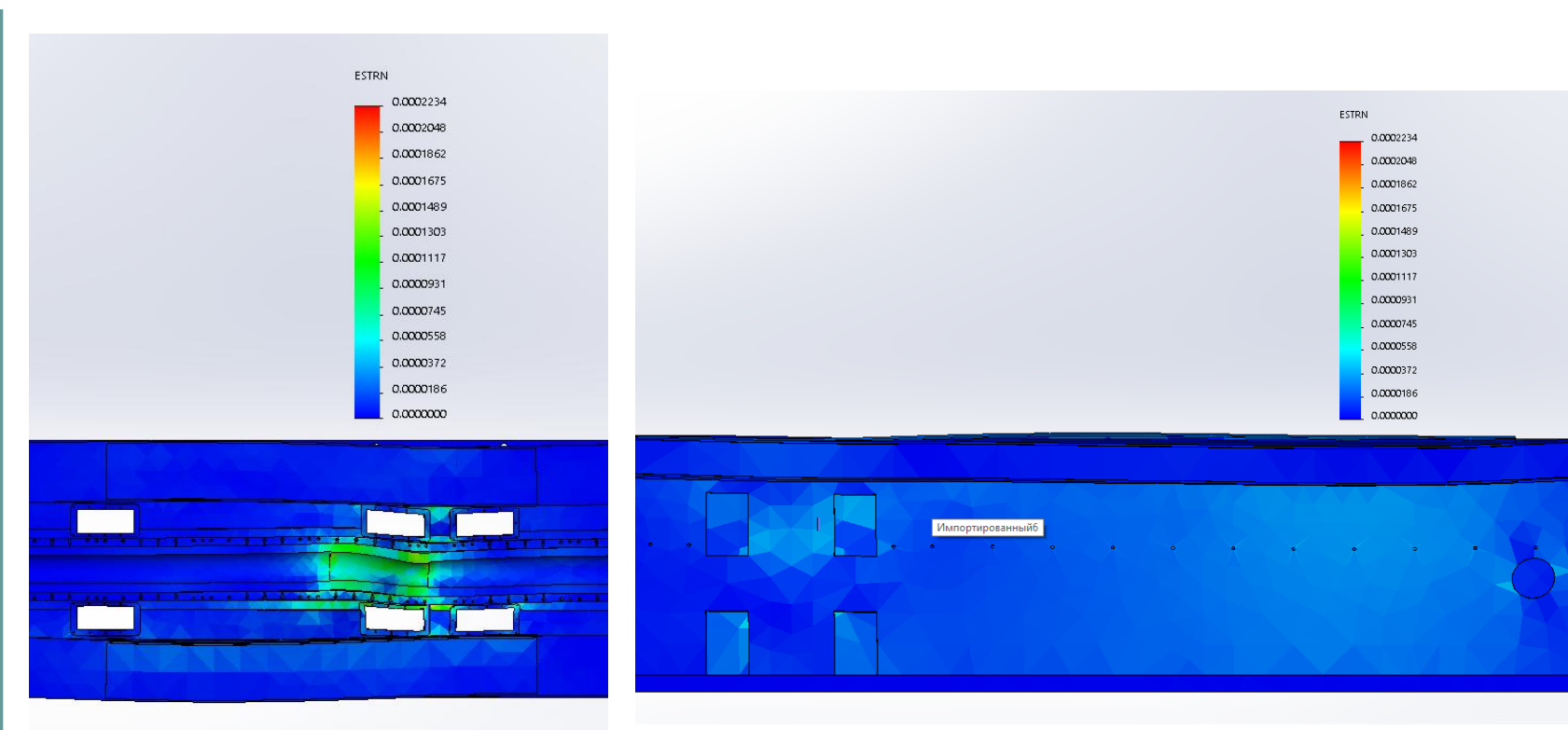
Расположения нагрузок





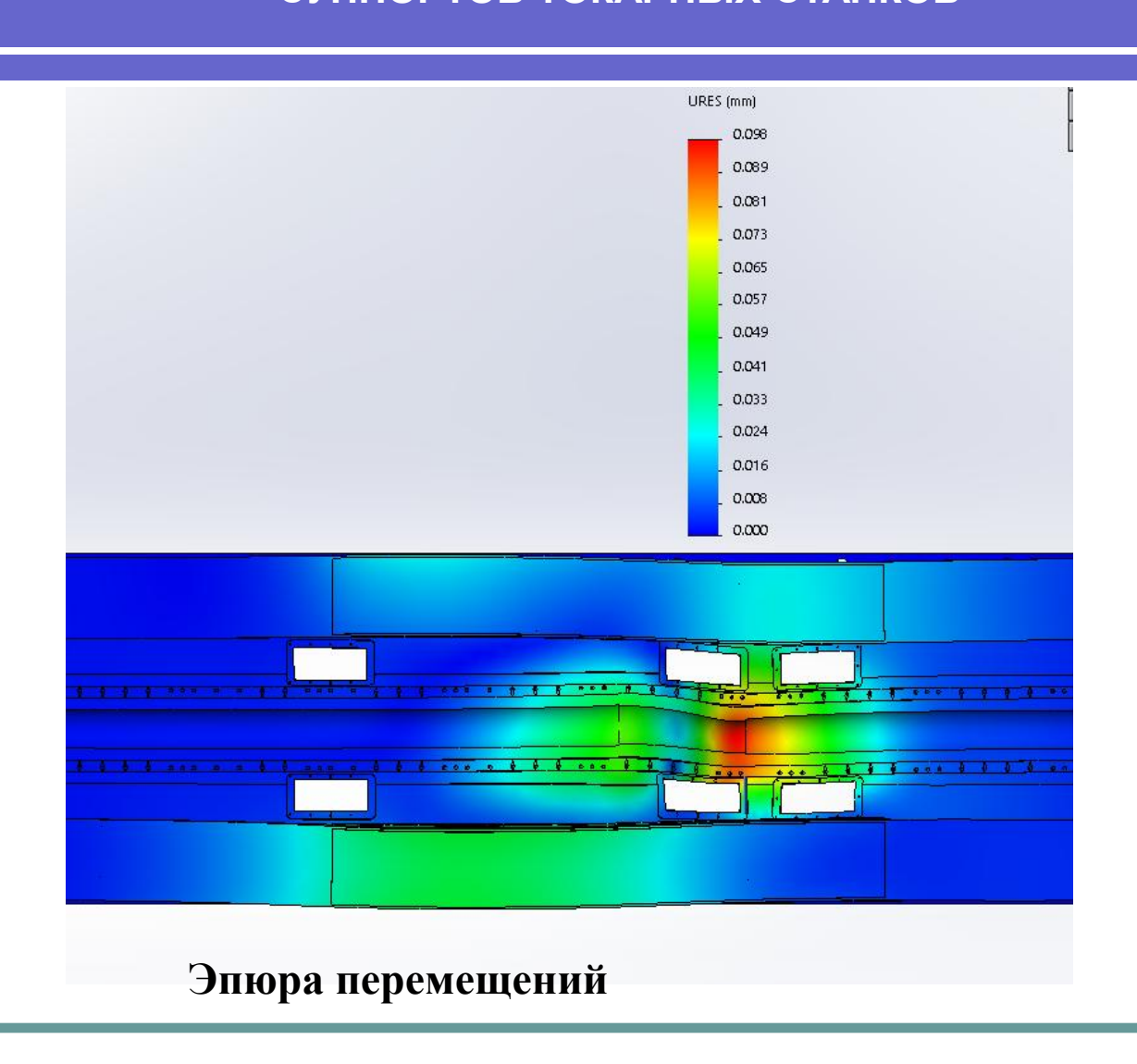
Сечение эпюры напряжения



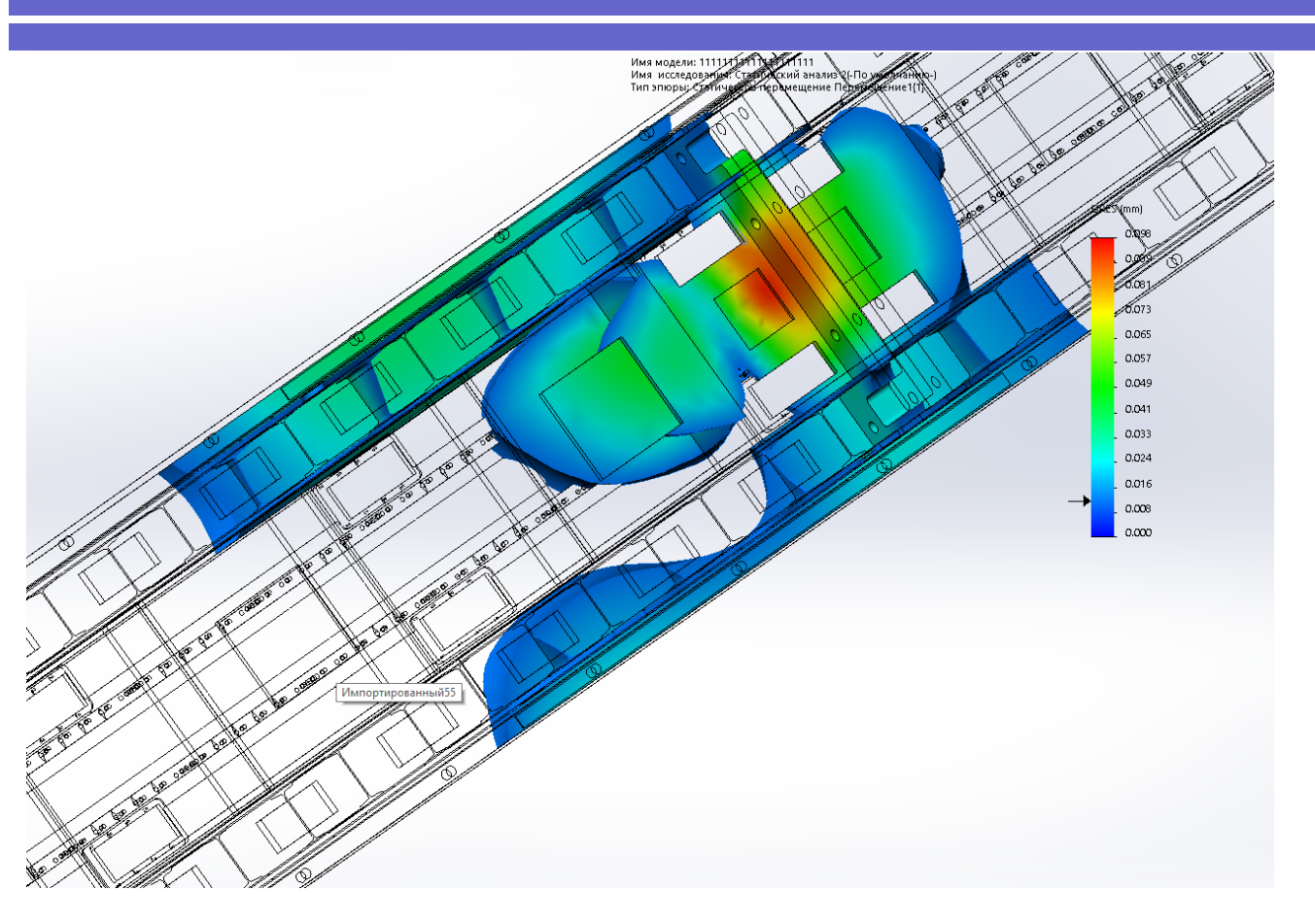


Эпюра статической деформации суппорта









Сечение эпюры по распространение деформации и перемещения



ВЫВОДЫ

- 1.Проанализированы гидростатические опорные узлы тяжёлых станков
- 2. Разработана методология создания станков на концептуальном уровне
- 3. Произведено решение гидростатики суппорта на основе решения уравнения Рейнальдся.
- 4. Спроектирована адаптивная система управления суппортом произведён статический анализ станины и суппорта в Solidworks simulation.
- 5. Посчитана организационно экономическая часть и охрана труда.



Благодарю за внимание